

ارزیابی منشأ رسوبی آمفیبولیت‌ها و متابولیت‌های میزبان کانسار آهن گل‌گهر سیرجان، کرمان

گلاله اصغری، کارشناس ارشد، گروه زمین شناسی دانشگاه تهران

حسن میرنژاد، استادیار، گروه زمین شناسی دانشگاه تهران*

جلیل قلمقاش، مدیر زمین شناسی منطقه‌ای سازمان زمین شناسی و اکتشافات معدنی ایران

چکیده

مجموعه‌ی دگرگونی گل‌گهر میزبان ذخایر سنگ آهن گل‌گهر است و در بخش شرقی زون سندج-سیرجان قرار دارد. این مجموعه از لحاظ سنگ شناسی در برگیرنده‌ی واحدهای سنگی میکاشیست، کوارتزیت، مرمر، آمفیبول شیست، گرافیت شیست، کالک شیست و آمفیبولیت است. آمفیبولیت‌ها به شکل لایه‌ای در درون توده معدنی گل‌گهر رخمنون دارند، بنابراین تعیین سنگ مادر آن به تفسیر محیط اولیه‌ی تشکیل کانسار آهن مزبور کمک خواهد کرد. براساس مطالعات صحرایی، پتروگرافی و ژئوشیمیایی، متابولیت‌ها از دگرگونی شیل‌های آهندار بوجود آمده‌اند و سنگ‌مادر آمفیبولیت‌ها از نوع رسوبات مارنی است. به علاوه، موقعیت نمونه‌های آمفیبولیت بر روی نمودارهای مختلف (همچون mg در برابر c و si در مقابل alk mg, al, alk) که بر پارآمفیبولیت بودن آنها دلالت دارد، تأیید کننده تشکیل سنگ منشأ آمفیبولیت‌های گل‌گهر در یک محیط رسوبی است.

واژه‌های کلیدی: آمفیبولیت، سنگ منشأ، ژئوشیمی، کانسار آهن، گل‌گهر، مارن.

مقدمه

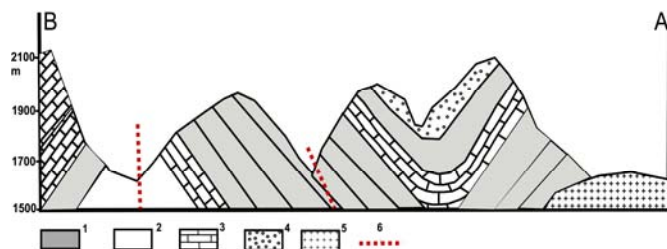
سنگی مجموعه گل‌گهر شامل کوارتزیت، میکاشیست، گارنت‌میکاشیست، کالک‌شیست، مرمر، آمفیبول‌شیست، گرافیت‌شیست و آمفیولیت است که در رخساره‌ی آمفیولیت تا شیست سبز دگرگون شده‌اند. نتایج سن سنجی K/Ar مربوط به آمفیبول و میکا در گنیس‌های ناحیه نیریز سن پالوزوئیک (۳۰۰ میلیون سال) را برای مجموعه مذکور نشان داده است (Sheikholeslami et al. 2003). واحدهای مزوژوئیک گل‌گهر آهک‌های ریفی با رخساره با یومیکراتی تا بایو اسپارایتی تریاس و آهک‌های الیتی و کنگلومرای ژوراسیک هستند که مرز میان آنها با سنگ‌های دگرگونی پالوزوئیک ناپیوستگی ناشی از فاز سیمرین پیشین می‌باشد. فلیش‌های ائوسن شامل تناوبی از شیل، ماسه سنگ و کنگلومرا و آهک‌های ماسه‌ای نومولیت‌دار از توالی‌های سنوزوئیک این منطقه هستند که بر روی آن با دگرگشی زاویه‌دار، فلیش‌های الیگوسن شامل تناوبی از کنگلومرا، ماسه سنگ و مارن قرار می‌گیرند. رسوبات کواترنر، جوانترین واحدهای گل‌گهر هستند که از مارن‌های گچ‌دار به سمت تراس‌ها و پادگانه‌های دامنه‌ای تا رسوبات بستر رودخانه‌ای جوانتر می‌شوند. این رسوبات گسترش وسیعی در ناحیه گل‌گهر داشته و اغلب مناطق را پوشانده‌اند. چین خوردگی و بویژه گسلش از ساخت‌های تکتونیکی عمدۀ در منطقه گل‌گهر هستند. گسل‌ها اکثرا دارای روند شمال‌غرب-جنوب شرق و شمالی-جنوبی بوده (ابراهیمی‌پور ۱۳۸۲) و فرآیند میلیونی شدن در زون‌های برشی بخوبی مشهود است.

منطقه‌ی مورد مطالعه در ۵۵ کیلومتری جنوب غرب سیرجان در استان کرمان واقع شده است. قدیمی‌ترین واحد سنگی این منطقه مجموعه‌ی دگرگونی گل‌گهر است که میزبان ذخایر بزرگ آهن گل‌گهر می‌باشد. متابلت و آمفیولیت از جمله سنگ‌های مذکور هستند که اغلب همراه با توده معدنی مشاهده می‌شوند. در مطالعات قبلی یعقوبی (۱۳۷۸) منشأ بازالتی را برای آمفیبولیت‌های گل‌گهر در نظر گرفته و برهمنی اساس نیز مدل آتشفسانی-رسوبی را برای ژنز کانسار آهن گل‌گهر ارائه نموده است. نوع سنگ‌مادر آمفیولیت‌ها اعم از سنگ‌های آذرین مافیک (گابریو، دیاباز، بازالت) و یا رسوبات مارنی همواره مورد بحث اغلب محققین بوده است.

(Leake 1964; Evans and Leake 1960; Rivalenti and Sighinolfi 1969). با توجه به اهمیت ارتباط آمفیولیت‌ها و سایر واحدهای مجموعه گل‌گهر با کانسار آهن و تفسیر محیط تشکیل آن، در این مطالعه با استفاده از شواهد سنگ شناسی و داده‌های ژئوشیمیایی به تعیین منشأ آمفیولیت‌ها و متابلت‌ها پرداخته شده است.

زمین شناسی

محدوده مورد مطالعه در طول جغرافیایی 20° ، 24° ، 29° تا 55° شرقی و عرض جغرافیایی 02° ، 07° تا 29° شمالی در جنوب معدن گل‌گهر با اقلیمی خشک و کویری قرار گرفته است (شکل ۱) و به بخش شرقی زون سنترج-سیرجان در کمربند کوه‌زایی زاگرس تعلق دارد. واحدهای



شکل ۱-الف- نقشه زمین شناسی مجموعه گل‌گهر اقتباس از نقشه ۱:۱۰۰۰۰ (سازه‌ای ۱۳۷۴). ب- برش عرضی در راستای BA: ۱- سنگ‌های دگرگونی میکاشیست، کوارتزیت، آمفیبولیت و آمفیبول شیست، آمفیبولیت، گرافیت شیست ۲- رسوبات کواترنر ۳- مرمر، ۴- گارفت شیست، ۵- گرانیت میلیونیتی، ۶- گسلهای احتمالی.

عناصر اصلی و کمیاب آنها به روش ICP-MS اندازه‌گیری گردید. مقادیر آهن دو و سه ظرفیتی آمفیبولیت‌ها با استفاده از روش شیمی تر در آزمایشگاه ژئوشیمی سازمان زمین شناسی ایران از یکدیگر تفکیک گردیدند.

روش مطالعه
پس از انجام مطالعات صحرایی، تعداد ۸۰ مقطع نازک و ۱۰ مقطع نازک-صیقلی جهت بررسی بافت و کانی‌شناسی از واحدهای دگرگونی تهیه شد. تعداد ۶ نمونه شامل ۳ نمونه میکاشیست و ۳ نمونه آمفیبولیت انتخاب و

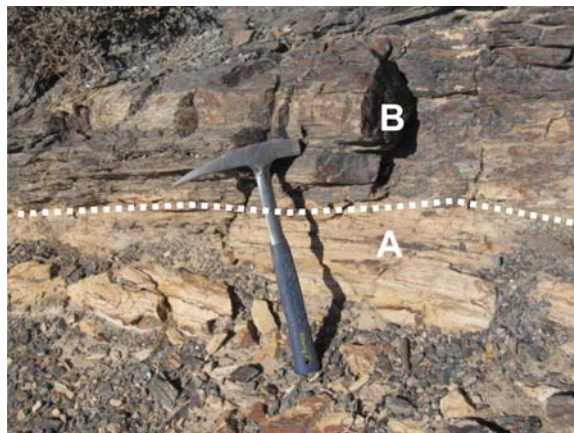
مجموعه گل‌گهر موازی و تدریجی است. در شکل ۲ مرز تدریجی میان واحد کالک شیست و کوارتر میکا شیست قابل مشاهده است و هیچ نشانه‌ای از رگه و یا دایک دیده نمی‌شود. افزایش و کاهش برخی از کانی‌ها در مقطع پیمایش شده روند منظمی را نشان می‌دهد. اگرچه بررسی روابط صحرایی راهکار مهمی در جهت تفکیک پارآمفیبولیت از اورتوآمفیبولیت است به طوری که گفته می‌شود (Evans and Leake 1960) پارآمفیبولیت اغلب با سنگ‌های رسوبی دگرگون شده و گریوک با مرز تدریجی همراه است و اورتوآمفیبولیت عمدتاً دایکی شکل بوده، سطح تماس آن با لایه‌های اطراف ناگهانی است و با سنگ‌های الترامافیک و گابروی همراه می‌باشد اما وجود توالی نازک از لاواهای بازالتی به شکل سیل میان رسوبات مشکل ساز بوده بنابراین استفاده از داده‌های ژئوشیمیایی نیز الزامی می‌نماید. از نظر پتروگرافی کوارتر میکا شیست دارای مجموعه کانی‌های کوارتر (۲۰-۳۰ درصد)، بیوتیت و مسکویت (۴۰-۳۰ درصد)، پلاژیوکلاز و آلکالی‌فلدسبار (۱۵-۱۰ درصد)، کلسیت، اپیدوت، مگنتیت (۳۰-۲۰ درصد) است. بیوتیت، مسکویت و اپیدوت درشت دانه هستند و در زمینه‌ای از کوارتر کلسیت و فلدسبار قرار می‌گیرند. کلسیت ریز بلور در برخی نمونه‌ها همراه با این سنگ‌ها وجود دارد. فولیاسیون در این واحد به وضوح دیده می‌شود (شکل ۳). بیوتیت در اغلب موارد به کلریت دگرسان شده است که بیانگر دگرگونی پسروندۀ می‌باشد. گارنت میکا شیست شامل مجموعه کانی‌های کوارتر (۲۰-۳۰ درصد)، بیوتیت و مسکویت (۴۰-۳۰ درصد)، گارنت (۲۰-۱۰ درصد) و اپیدوت، کلریت و مگنتیت به عنوان کانی فرعی می‌باشد. گارنت با قطر بیش از ۰/۵ میلیمتر دارای ادخال‌های کوارتر و مگنتیت می‌باشد که هم جهت با میکاها و سایر کانی‌های زمینه هستند (شکل ۴).

مشاهدات صحرایی و پتروگرافی

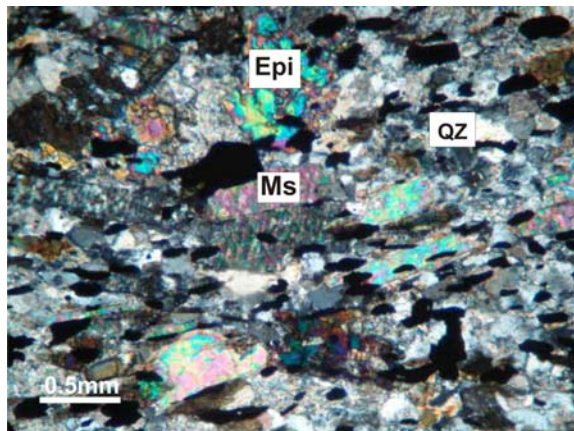
در پیمایش انجام شده در راستای برش BA (شکل ۱)، توالی واحدهای مرمر، کالک شیست، میکاشیست، آمفیبول شیست، گرافیت شیست، آمفیبولیت و کوارتزیت مشاهده گردید. مرمرها، واحدهای آهکی دگرگون شده‌ای هستند که به رنگ کرم تا قهوه‌ای قابل مشاهده‌اند و به دلیل مقاومت بالا به شکل برآمدگی‌های خشنی در میان متاپلیت‌ها رخمنون دارند. کالک شیست‌ها، آمیخته‌ای از کوارتز و کلسیت هستند. متاپلیت‌ها از کوارتز، مسکویت ± بیوتیت‌شیست تشکیل یافته که در برخی موارد پورفیروبلاست‌های گارنت با قطر بیش از ۰/۵ میلیمتر در آنها به چشم می‌خورد. کانی‌های آلومینوسیلیکات‌های (آندولوزیت، سیلیمانیت و کیانیت) در متاپلیت‌های منطقه مورد مطالعه مشاهده نمی‌شوند.

آمفیبول شیست از باندهای غنی از آمفیبول و کوارتز و مقادیر اندکی پلاژیوکلاز تشکیل یافته است. گرافیت شیست سنگی بسیار ریز دانه و سیاه رنگ می‌باشد که بادامک‌های نازک کوارتز در آن در جهت شیستوزیته سنگ کشیده شده‌اند. آمفیبولیت به رنگ سبز در توالی با سایر واحدها دیده می‌شود. در این نوع سنگ جدایش کانی‌های مافیک (آمفیبول، بیوتیت) از کانی‌های فلزیک (کوارتز، پلاژیوکلاز و فلدسبار آلکالن) منجر به ایجاد بافت شبه گنیسی شده است که شدت این جدایش در بخش‌های مختلف پیمایش شده متفاوت می‌باشد.

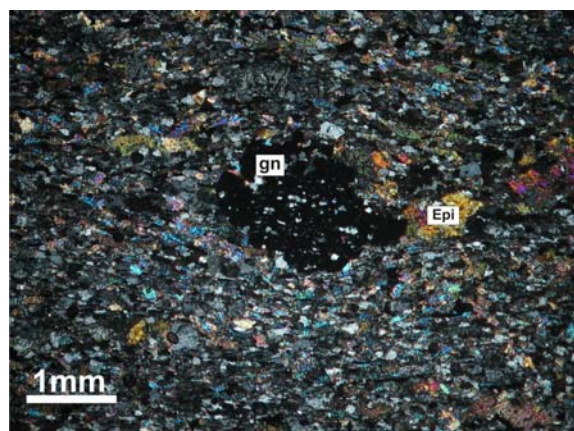
کوارتزیت دارای بیش از ۹۰ درصد کوارتز است و بادامک‌هایی از کوارتز چند بلوری بشکل پورفیروبلاست نیز در آن وجود دارد. گدازه‌های الترامافیک دگرگون شده که در مطالعات قبلی به آنها اشاره شده است (سبزهای ۱۳۷۴) مشاهده نگردید و بنظر می‌رسد این توصیف مربوط به آمفیبولیت‌هایی است که در نمونه دستی به گدازه الترامافیک شباهت دارند. مرز میان تمامی این واحدها در



شکل ۲- موز تدریجی میان کوارتز میکاشیست (A) و کالک شیست (B) در مجموعه گل گهر.



شکل ۳- تصویری از مسکویت (Ms)، اپیدوت (Epi) و کوارتز (Qz) در میکاشیست‌های گل گهر، دید در نور پلازیزه.

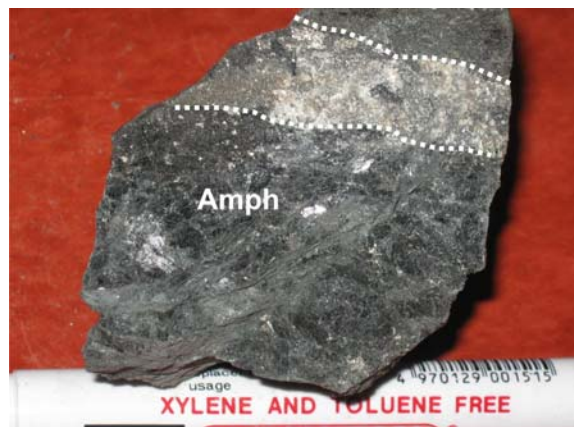


شکل ۴- کانی‌های گارنٹ (gn) و اپیدوت با زمینه کوارتز و بیوتیت در گارنٹ میکاشیست مجموعه گل گهر، دید در نور پلازیزه.

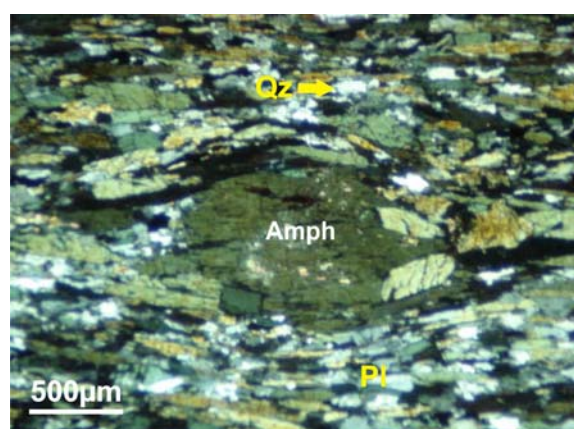
Mucke and Younessi 1994) به اشتباه هورنبلاندیت نامیده شده‌اند (Younessi 1994). پلازیوکلاز در برخی نمونه‌ها فراوانی کمتری در مقایسه با کوارتز دارد. خطوارگی بافت اصلی آمفیبولیت‌های است که در مواردی میلونیتی شدن باعث ایجاد بادامک‌های تک بلوری پلازیوکلاز و ریزساختار سیگموئیدی در پورفیروblast‌های آمفیبول شده است. (شکل ۶). دگرسانی‌های سوسوریتی و کلریتی حاصل از دگرگونی پسروندۀ در این سنگ‌ها دیده می‌شوند.

آمفیبولیت: کانی‌های اصلی آمفیبولیت شامل هورنبلند پلازیوکلاز، کوارتز و فلدسپارآلکالن بوده و تیتانیت، اپیدوت، بیوتیت، کلسیت و مگنتیت جزو کانی‌های فرعی آن محسوب می‌شوند. در آمفیبولیت‌های منطقه کانی‌های گارنت و یا پیروکسن مشاهده نشده‌اند.

آمفیبول در نمونه‌هایی که کانی‌های فلسیک از مافیک تفکیک حاصل کرده‌اند بیشترین فراوانی را نشان می‌دهد (شکل ۵). چنین باندهای غنی از آمفیبولی در مطالعات قبلی



شکل ۵- باندهای تفکیک یافته کانی فلسیک (خط چین) از کانی آمفیبول (Amph) در آمفیبولیت‌های همراه با توده معدنی گل گهر.



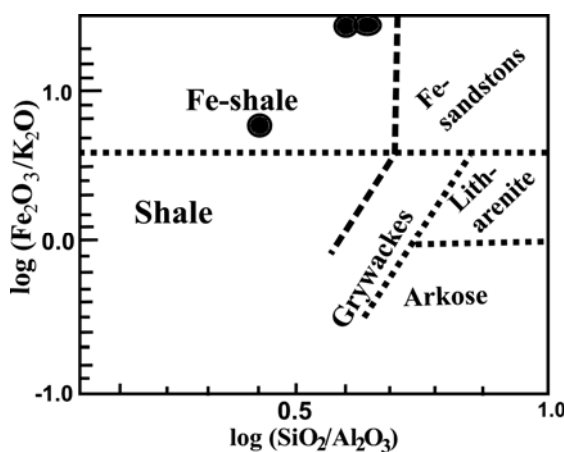
شکل ۶- بافت سیگموئیدی در پورفیروblast آمفیبول در زمینه کوارتز (Qz) و پلازیوکلاز (Pl) در آمفیبولیت میلونیتی شده گل گهر دید در نور پلاریزه.

ژئوشیمی متاپلیت‌ها

شرایط هوازدگی آنها کمک می‌نماید. در نمودار Herron log(SiO₂/Al₂O₃) از log(Fe₂O₃/K₂O)

(1988) متاپلیت‌های مورد مطالعه در محدوده شیل‌های آهندار قرار می‌گیرند (شکل ۷). ذکر این نکته حائز اهمیت می‌باشد که مقادیر کانی‌های آهندار این سنگ‌ها بالا است و بلورهای خودشکل مغنتیت دارای فراوانی زیادی هستند.

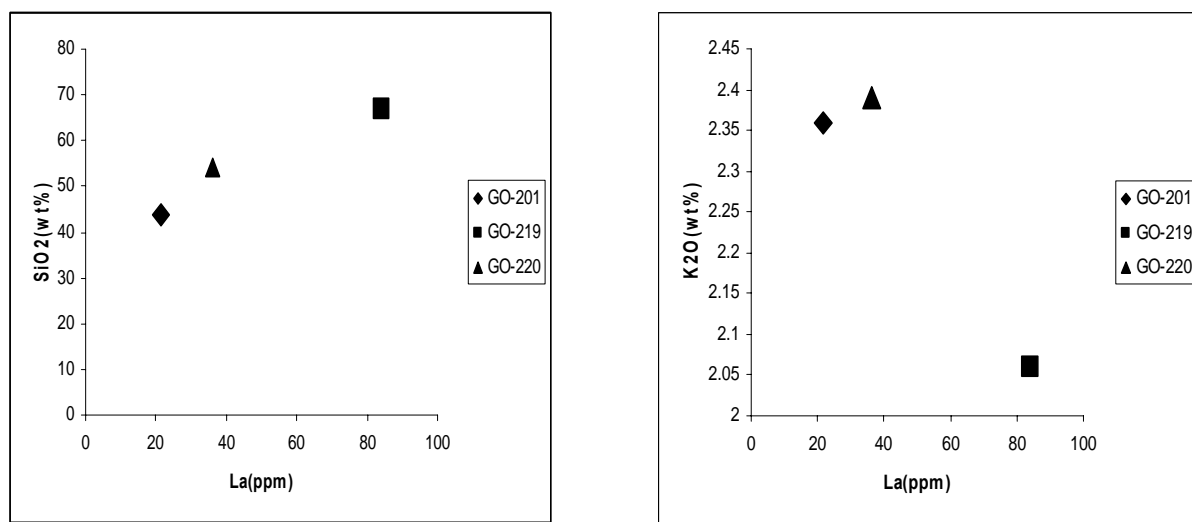
عناصر اصلی و کمیاب حاصل از آنالیز سه نمونه از متاپلیت‌ها شامل کوارتز میکا شیست، کالک بیوتیت شیست و گارنت میکا شیست، در جدول ۱ ارائه شده است. ژئوشیمی رسوبات شیلی به تعیین ترکیب سنگ منشأ و



شکل ۷- نمودار log(SiO₂/Al₂O₃) در مقابل log(Fe₂O₃/K₂O) (Herron 1988). متاپلیت‌های منطقه گل‌گهر در محدوده شیل آهندار قرار می‌گیرند.

$(\text{La/Yb})_{\text{N}} = 10.57-15$ ppm (210-335 ppm)، و $\sum \text{REE} = (\text{La/Yb})_{\text{N}} \times 10.57-15$. $(\text{Gd/Yb})_{\text{N}} = 1.05-2.11$ و $(\text{Gd/Yb})_{\text{N}} = 0.71-1.03$. $(\text{LREE/HREE})_{\text{N}} = 1.89-3.34$ و $\sum \text{REE} = 78.92-157$ بیشتر است. نمونه‌های مورد مطالعه با داشتن $\sum \text{REE} = 123-380$ ppm و مقادیر $(\text{La/Yb})_{\text{N}} = 10-12$ و $(\text{Gd/Yb})_{\text{N}} = 1.75-2.5$ متوسط دگرگونی بوجود آمده‌اند.

عناصر نادر خاکی متاپلیت‌ها با غنی شدگی LREE نسبت به HREE مشخص می‌شود که از ویژگی‌ها شاخص شیل‌های رسی پس از آرکن است (Likhmanov et al. 2008). رابطه مثبت میان مقدار LREE با مقدار SiO₂ و رابطه منفی K₂O با عناصر نادر خاکی سبک در متاپلیت‌های گل‌گهر نشان‌دهنده تأثیر محتوای میکا و کوارتز در غلظت LREE متاپلیت‌ها است بطوریکه نمونه GO-219 با داشتن SiO₂ بیشتر، بالاترین مقدار LREE را نیز در مقایسه با سایر نمونه‌ها دارد (شکل ۸). چنین رابطه‌ای توسط (Likhmanov et al. 2008) به اثبات رسیده است. Taylor and McLennan (1988) پیشنهاد می‌کنند متاپلیت‌های که در فشار پایین تشکیل می‌شوند دارای



شکل ۸- نمودار تغییرات مقادیر La در برابر SiO_2 و K_2O برای متابولیت‌های گل گهر.

از ۳ ظرفیتی برای محاسبه اعداد Niggli (1954) (جدول ۲)

بر روی نمودارهای مورد نظر ترسیم شده‌اند که شامل:

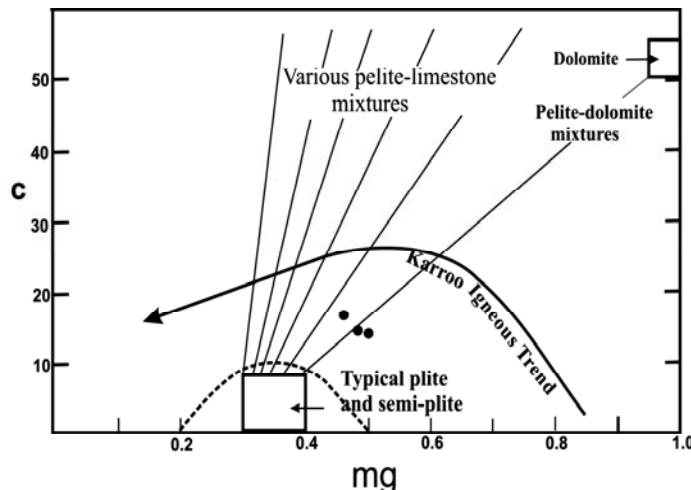
۱-نمودار mg در مقابل c: در این نمودار محدوده سنگ‌های پلیتی ایده‌آل و خطوط آمیختگی پلیت با رسوبات کربناته و دولومیت و همچنین روند آذرین (دولریت) با پیکان مشخص شده است (شکل ۹). آمفیبولیت‌های مورد مطالعه در محدوده میان پلیت و دولریت در کنار خط آمیختگی با دولومیت قرار می‌گیرند.
۲-نمودار mg در برابر Ni: بر روی این نمودار بخش‌های هاشور زده آمفیبولیت رسوبی را نشان می‌دهد (شکل ۱۰).

آمفیبولیت

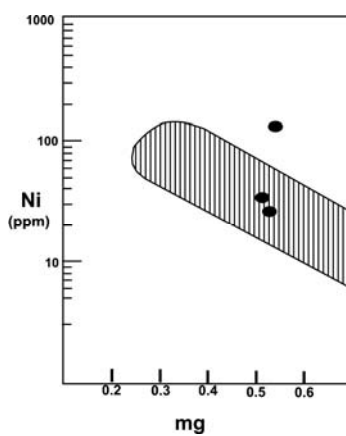
نتایج آنالیز ۳ نمونه از سنگ‌های آمفیبولیتی کمپلکس گل گهر در جدول ۱ ارائه شده است. در اغلب مطالعاتی که برای تفکیک پارا‌آمفیبولیت از اورتو‌آمفیبولیت صورت گرفته است سعی گردیده عناصر اصلی سنگ کل را بر طبق پارامترهای Niggli (1954) محاسبه کنند و نتایج بدست آمده را بر روی نمودارهایی که محدوده‌ی آذرین و رسوبی آنها با مطالعه دولریت Karroo و پلیت Littleton مشخص شده است ترسیم نمایند

Folley 1997; Leake 1964; So 1978)

Rivalenti & Sighinolfi 1969; Evans and Leake 1960; Van De Kamp 1968; Ahmed Said and (Leake 1992; Moorhouse 1979 رسوبی بودن آمفیبولیت‌ها مشخص گردد. داده‌های ژئوشیمیایی آمفیبولیت گل گهر نیز پس از تفکیک آهن ۲



شکل ۹- نمودار mg در برابر C ، روند تفرقی ماگمایی دولریت، پلیت، پلیت- دلومیت و پلیت- کلسیت (Leake 1964; Van De Kamp 1968) آمفیولیت‌های مجموعه گل‌گهر عمدتاً در محدوده نزدیک به پلیت و خط آغشتگی پلیت- دولومیت قرار می‌گیرند.



شکل ۱۰- نمودار پارامتر mg (Niggli 1954) در برابر مقدار Ni (Leak 1964). برای آمفیولیت‌های گل‌گهر. محدوده هاشور زده جایگاه رسوی آمفیولیت‌ها را نشان می‌دهد.

mg کاهش یابد نشان دهنده تفرقی ماگمایی است (Walker and Poldervaart 1949) مورد مطالعه si با al , alk , fm , al و alk همبستگی دارد اما si با mg رابطه‌ی واضحی نشان نمی‌دهد بلکه بنظر می‌رسد که با افزایش si , mg نیز افزایش می‌یابد بنابراین از روند ذکر شده برای تفرقی ماگمایی پیروی نمی‌کند(شکل ۱۱).

آمفیولیت‌های گل‌گهر در نمودار $mg-Ni$ عمدتاً در محدوده رسوی قرار می‌گیرند. نمونه‌های GO-218 و GO-209 که هر دو در مقایسه با سایر نمونه‌ها میلونیتی شده‌اند به ترتیب حداکثر و حداقل مقدار نیکل و کرم را دارا می‌باشند.

نمودارهای si در مقابل $al-alk$, fm و mg : با توجه به این نمودارها اگر با افزایش si , al و alk افزایش و fm و

جدول ۱- نتایج آنالیز عناصر اصلی (بر حسب درصد وزنی) و کمیاب (بر حسب قسمت در میلیون) متابله‌ها و آمفیبولیت‌های گل گهر.

	GO-201	GO-219	GO-220	G45	GO-209	GO-218
SiO ₄	۴۳/۸	۶۶/۸	۵۴/۱	۴۱/۹	۴۹/۱	۴۸/۶
Al ₂ O ₃	۱۶/۴۰	۱۵/۱	۱۲/۶۰	۱۲/۷	۱۳/۰۵	۱۳/۲
*Fe ₂ O ₃	۱۵/۰۰	۳/۴۶	۲۰/۸	۸/۳۵	۵/۱	۱۲/۰۵
FeO	-	-	-	۱۰/۵	۱۰/۲	۸/۳۶
CaO	۶/۵۶	۲/۱۴	۱/۴۶	۸/۵۹	۵/۹۸	۴/۱۸
MgO	۱/۶۸	۰/۷۳	۱/۵	۹/۹	۸/۷۵	۷/۹۳
Na ₂ O	۴/۸۷	۵/۳۶	۰/۸۹	۳/۰۴	۴/۴۴	۴/۳۷
K ₂ O	۲/۳۶	۲/۱۶	۲/۳۹	۰/۴۳	۰/۱۲	۰/۱۸
Cr ₂ O ₃	۰/۰۱	۰/۰۱	۰/۰۱	۰/۰۱	۰/۰۱	۰/۰۶
TiO ₂	۳/۲۹	۰/۶۸	۲/۴۷	۰/۴۲	۱/۶۹	۲/۱۰
MnO	۰/۱۴	۰/۰۰	۰/۳	۰/۱۴	۰/۰۹	۰/۱۴
P ₂ O ₅	۰/۲۴	۰/۱۸	۰/۳	۰/۰۷	۰/۱۳	۰/۱۳
LOI	۳/۱۷	۱/۴۹	۱/۳۱	۲/۱	۱/۰۹	۱/۱۶
Total%	۹۸/۲	۹۸/۲	۹۸/۲	۹۹	۱۰۰/۰	۹۸/۱
Ba	۹۶۶	۱۳۴۰	۲۷۵	۳۰/۱	۳۰/۳	۱۳/۰
Ce	۴۳/۸	۱۲۷	۶۷/۲	۱۳۹/۰	۱۰	۳۴/۴
Co	۲۶/۱	۲/۰	۲۲/۲	۳۲/۰	۴۴/۷	۴۴/۴
Cr	۴۰	۹	۴۰	۹۰	۳۰	۴۰
Cs	۰/۰	۰/۳۱	۱/۱۲	۰/۱۷	۰/۱۳	۰/۰۰
Cu	۴	۴	۴	۱۳۱	۴	۸
Dy	۴/۹۴	۹/۰۱	۷/۴۴	۸/۱	۵/۱۳	۴/۸۴
Er	۲/۶۳	۰/۰۴	۳/۸۳	۴/۰۲	۳/۱۶	۲/۶۱
Eu	۱/۸۹	۳/۶۳	۲/۰۹	۲/۷۱	۱/۴۰	۱/۶۴
Ga	۲۶/۹	۴۵	۲۵/۷	۲۳/۲	۲۲/۱	۱۹/۳
Gd	۰/۹	۱۱/۲	۷/۳۴	۱۱/۳۰	۴/۱	۰/۲۷
Hf	۰/۹	۱۳	۷/۳	۳/۲	۲/۴	۴/۳
Ho	۰/۹۶	۱/۷۰	۱/۴۷	۱/۴۷	۱/۱۲	۰/۹۰
La	۴۱/۰	۸۴/۱	۳۶/۱	۷۹/۰	۶/۸	۱۴/۳
Lu	۰/۳۱	۰/۶۸	۰/۴	۰/۰۵	۰/۳۸	۰/۳
Nb	۲/۳۲	۱۱۶/۵	۴۳/۸	۶/۹	۶/۹	۱۷/۰
Nd	۹۰/۰	۶۷/۷	۳۷/۲	۵۷/۱	۱۰/۴	۲۱/۰
Ni	۷۰	۴	۳۱	۶۵	۵۰	۲۱۰
Pr	۶/۰۴	۱۸/۲	۹/۱۹	۱۰/۱	۲/۱۴	۴/۸۹
Rb	۳۳/۴	۳۵/۹	۵۳/۴	۷/۲	۲/۰	۰/۸
Sm	۶/۱۳	۱۱/۸۰	۸/۰۴	۱۲	۳/۳۰	۵/۳۲
Sr	۱۱۰	۰۹/۱	۱۰۳	۲۴/۷	۷۰/۳	۸۵/۵
Ta	۲/۱	۷/۱	۲/۷	۰/۰	۰/۴	۱/۲
Tb	۰/۹	۱/۶	۱/۲۱	۱/۶	۰/۷۶	۰/۸۷
Th	۳/۰	۱۲/۳۰	۴/۲۸	۱۰/۲۰	۱/۱۶	۲/۶۷
Tl	۰/۴	۰/۴	۰/۴	۰/۴	۰/۴	۰/۴
Tm	۰/۳۴	۰/۶۸	۰/۴۹	۰/۵۵	۰/۴۲	۰/۳۰
U	۰/۹۹	۰/۸۹	۰/۶۰	۸/۰۴	۰/۳۸	۰/۷۸
V	۳۱۰	۱۳	۲۰۳	۲۲۰	۴۴۰	۲۱۳
Y	۲۳/۸	۴۵/۳	۳۵/۷	۳۹	۲۷/۴	۲۴
Yb	۲/۲۱	۴/۴۸	۲/۸۰	۳/۶۲	۲/۶۸	۲/۱
Zn	۵۰	۲۰	۴۴	۴۱	۷۰	۱۳۷
Zr	۲۳۰	۰۸۶	۲۹۹	۱۰۰	۸۴	۱۶۳

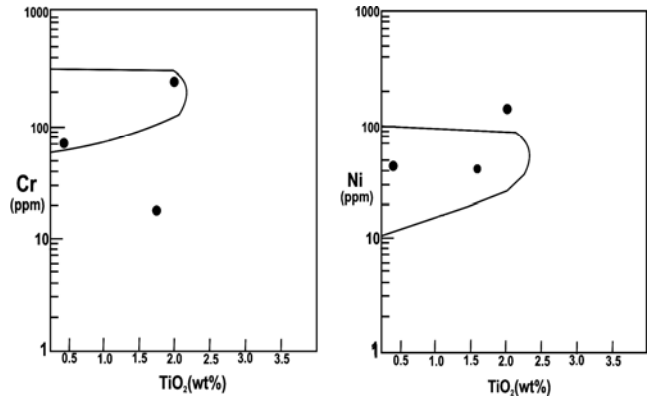
Fe₂O₃ FeO

Fe₂O₃

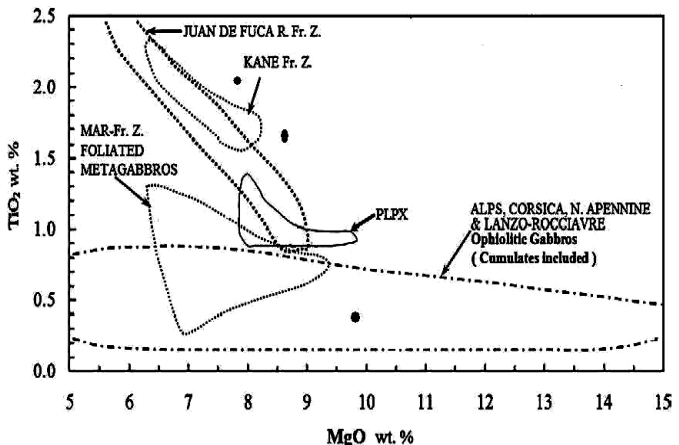
بطوریکه نمونه G45 دارای لزهای تفكیک یافته کانی‌های فلسیک از مافیک بوده و غنی از آمفیبول است. نمونه‌های GO-218 و GO-209 عمدتاً میلونیتی شده و مقدار آمفیبول آنها کمتر از G45 بوده و نسبت پلاژیوکلаз به آمفیبول تقریباً مشابهی دارد. در آمفیبولیت G45 نسبت Zr/Y برابر با ۲/۶۹ و مقدار $\sum\text{REE}$ ۳۳۷ ppm می‌باشد و از LREE غنی شده است. آمفیبولیت GO209 دارای نسبت Zr/Y ۳/۸-۲/۲۹ است. آmfیبولیت GO218 مقدار $\sum\text{REE}$ ۱۲۲-۴۷ ppm و مقدار Zr/Y ۱۱۳-۹۹ ppm دارد. نمونه G45 کمتر از G45 است. عناصر نادر خاکی در میکاشیست‌ها و آmfیبولیت‌های گل‌گهر روند نسبتاً مشابهی را نشان می‌دهند.

بحث

Shawardi همچون وفور واحدهای شیلی دگرگون شده (میکاشیست‌ها) در توالی با واحدهای کربناته دگرگونی (کلسیتی-دولومیتی)، مرز تدریجی میان آنها و تغییر تدریجی از واحدهای غنی از شیل به سمت واحدهای غنی از کربنات، عدم وجود دایک و رگه در واحدهای مجموعه گل‌گهر، مقادیر کم پلاژیوکلاز و بالا بودن میزان کوارتز، عدم وجود کانی پیروکسن که طبق نظر Redby and Murty (1975) نشانده‌نده آmfیبولیت با سنگ مادر آذرین است، پایین بودن مقدار عناصر Cr, Ni, Co در مقایسه با میزان mg نسبتاً بالای آmfیبولیت‌ها و همچنین عدم کاهش mg با افزایش si سنگ همگی بیانگر این نکته هستند که آmfیبولیت‌های کمپلکس



شکل ۱۱- نمودارهای TiO_2 در مقابل Cr و Ni (Leake et al., 1964) محدوده نشان داده شده مربوط به آmfیبولیت با پروتولیت رسوبی است. آmfیبولیت گل‌گهر عمدتاً در بخش رسوبی این نمودارها تمکز دارد.



شکل ۱۲- نمودار MgO در مقابل TiO_2 محدوده‌های مشخص شده انواع سنگ‌های گابرویی مرتبط با کمپلکس‌های افیولیتی آلبی و زون‌های گسل خرد ترانسفورم اقیانوسی است. پراکندگی آmfیبولیت‌های گل‌گهر روی آن نشان داده شده است.

میلونیتی شدن سنگ اتفاق افتاده باشد (Gartzos et al. 2008). همچنین مقادیر تقریبا مشابه REE در متاپلیت‌ها و آمفیبولیت‌ها احتمال هم منشأ بودن این سنگ‌ها را قوت می‌بخشد. البته تفاوت‌های اندکی که در LREE این سنگ‌ها دیده می‌شود احتمالا در طی دگرگونی، دگرسانی و فرآیند میلونیتی شدن سنگ‌ها حادث شده است. با توجه به این شواهد چینن بنظر می‌رسد که رسوبات شیلی غنی از آهن در زمان‌های مختلف (احتمالا پالئوزوئیک و پیش از آن) همراه با رسوبات کربناته منیزیم‌دار تهنشین شده‌اند. دگرگونی پیشرونده تا درجات رخساره آمفیبولیت تشکیل متاپلیت‌ها از رسوبات شیلی و آمفیبولیت از رسوبات مارنی (۵۰٪ کربنات با ۵۰٪ شیل) را باعث گردیده است. بر این اساس می‌توان ستون چینه شناسی واحدهای سنگی کمپلکس گل‌گهر را بازسازی نمود (شکل ۱۳).

گل‌گهر دارای منشأ رسوبی مارنی می‌باشد. از طرفی آمفیبولیت‌های گل‌گهر در مقایسه با آمفیبولیت‌های کمربندهای گرین استون جنوب غربی گرینلند (Calderón et al. 2008; 2009)، کمربند افیولیتی یونان (Nagihara and Casey 2001)، حاشیه غربی ایریا (Fazlnia et al. 2009)، کمپلکس دگرگونی ماتیک در مصر (Neumayr et al. 1996) و کمربند زامبیا در زیمباوه (Munyanyiwa et al. 1997) که همگی منشأ آذرین دارند، مقادیر کرم و نیکل ΣREE بالاتری دارد. همچنین کانی‌های پیروکسن و گارنت در اغلب این مناطق همراه با آمفیبولیت گزارش شده‌اند اما در آمفیبولیت گل‌گهر این کانی‌ها دیده نشده‌اند. TiO_2 همراه با MgO , Cr , Ni بالا بودن غیر عادی مقادیر Sr و LREE در Fe_2O_3 و V اما پایین بودن غلظت آمفیبولیت‌های شماره GO-209، GO-218 نسبت به سایر نمونه‌ها ممکن است در نتیجه نحوی نمونه‌برداری و یا

ارزیابی منشأ رسوبی آمفیبولیت‌ها و متاپلیت‌های میزان کانسار آهن.....

لیتولوژی	معادل رسوبی واحدهای دگرگونی	واحدهای دگرگونی
لیتو	کوارتزیت	کوارتزیت
لیتو	گارنت میکا شیست	گارنت میکا شیست
لیتو	آمفیبولیت	آمفیبولیت
لیتو	گرافیت شیست	گرافیت شیست
لیتو	آمفیبولیت	آمفیبولیت
لیتو	میکا شیست	میکا شیست
لیتو	مرمر	مرمر
لیتو	میکا شیست	میکا شیست
لیتو	کالک شیست	کالک شیست
لیتو	مرمر	مرمر

شکل ۱۴- ستون چینه شناسی و لیتولوژی واحدهای سنگی مجموعه گل گهر. ضخامت واحدها نسبی در نظر گرفته شده است.

- 3-Ahmed-Said, Y., and B.E. Leake, 1992, The composition and origin of the Kef Lakhal amphibolites and associated amphibolite and olivine-rich enclaves, Edough, Annaba NE Algeria: Mineralogical Magazine, v. 56, p. 459-468.
- 4- Calderón-Ordóñez, J.C., A. Polat., B.J. Fryer., P.W.U. Appel., J.A.M. van Gool., Y. Dilek., and J.E. Gagnon, 2009, Geochemistry and geodynamic origin of the Mesoarchean Ujarassuit and Ivisaartoq greenstone belts, SW Greenland: Lithos ,v. 113, p. 133–157.
- 5- Calderón-Ordóñez, J.C., A. Polat., B.J. Fryer., J.E. Gagnon., J.G. Raith, and P.W.U. Appel, 2008, Evidence for HFSE and REE mobility during calc-6-silicate metasomatism, Mesoarchean (~3075 Ma) Ivisaartoq greenstone belt, southern West Greenland: Precambrian Research., v. 161, p. 317–340.
- 7- So, C.-S., 1978, Geochemistry and Origin of Amphibolite and Magnetite from the Yangyang Iron Deposit in the Gyeonggi Metamorphic Complex, Republic of Korea: Mineral.Deposita., v. 13, p. 105-117.
- 8- Evans, B.W., and B.E. Leake, 1960, The composition and origin of the striped amphibolites of Connemara, Irland: Petrology, v. 1, p. 337-363.
- 9- Fazlnia, A.n., V. Schenk., F. V. D Straaten, and M.S. Mirmohammadi, 2009, Petrology, geochemistry, and geochronology of trondhjemites from the Qori Complex,Neyriz, Iran: Lithos., v. 112, p. 413-433.
- 10- Folley, M., 1997, Geochemistry and tectonic setting of proterzoic amphibolite from the Southern Front Range and Northern Wet mountains, central

نتیجه گیری

با توجه به مشاهدات صحرایی همچون حضور واحدهای پلیتی دگرگون شده در توالی با واحدهای آمفیبولیتی با مرز تدریجی در کمپلکس گلگهر و شواهد پتروگرافی مانند فراوانی کوارتز در مقایسه با پلاژیوکلاز در آمفیبولیت‌ها و عدم وجود پیروکسن و گارنت در این سنگ‌ها و نتایج حاصل از بررسی داده‌های ژئوشیمیابی اعم از فراوانی عناصر REE و Cr, Ni متابله‌ها با آمفیبولیت‌ها و همچنین محاسبه اعداد Niggli (1954) برای آمفیبولیت‌ها و ترسیم آن روی دیاگرام‌های تفکیک پارا از اورتوآمفیبولیت چنین استدلال می‌شود که متابله‌ها واحدهای شیلی آهندار و آمفیبولیت‌های کمپلکس گلگهر نیز رسوباتی با منشأ مارنی هستند که تا درجات رخساره آمفیبولیت دگرگون شده‌اند.

منابع

- ۱- ابراهیمی پور، ر، ۱۳۸۲، مطالعه خواص مهندسی درزه‌ها و جریان سیال در درزه‌ها در معدن سنگ آهن گلگهر: رساله کارشناسی ارشد مهندسی معدن، دانشگاه شهید باهنر کرمان.
- ۲- سبزه‌ای، م، ۱۳۷۴، نقشه ۱:۱۰۰۰۰ زمین شناسی گلگهر، انتشارات سازمان زمین شناسی و اکتشاف معدنی ایران.
- ۳- یعقوبی، ع، ۱۳۷۸، بررسی ژئوشیمی و ژنر کانسار شماره ۲ گلگهر: رساله کارشناسی ارشد زمین شناسی اقتصادی، دانشگاه شیراز.

- Canada: The Canadian Mineralogist, v. 43, p. 263–294.
- 18- Munyanyiwa, H., R.E. Hansor., T.G. Blenkinsop., and P.J. Treloar, 1997, Geochemistry of amphibolites and quartzofeldspathic gneisses in the Pan-African Zambezi belt, northwest Zimbabwe: evidence for bimodal magmatism in a continental rift setting: Precambrian Research, v. 81, p. 179-196.
- 19- Nagihara, S.S., and J.F. Casey, 2001, 10. Whole-rock geochemistry of amphibolites and metagabbros from the west Iberia margin, leg 1731: Proceedings of the Ocean Drilling Program, Scientific Results, v. 173, p. 1-20.
- 20- Neumayr, P., A. Mogessie., G. Hoinkes. and J. Puel, 1996, Geological setting of the Meatiq metamorphic core complex in the Eastern Desert of Egypt based on amphibolite geochemistry: Journal of African Earth Sciences., v. 23, no. 3, p. 331-345.
- 21- Niggli, P., 1954, Rocks and mineral deposits: San Francisco, Freeman., 559 p.
- 22- Reddy, G.L., and M.S. Murty, 1975, Amphibolites from Kuderu and Atmakuru areas, Anantapur district, and Hrapradesh, South India: Canadian mineralogist, v. 13, p. 205-207.
- 23- Rivalenti, G., and G.P. Sighinolfi, 1969, Geochemical study of gray wackes as a possible starting material of para-amphibolites: Contr. Mineralogy and Petrology, v. 23, p. 173-188.
- 24- Sheikholeslami, R., H. Bellon, H. Emami, M. Sabzehei, and A. Pique, 2003, Nouvelles données structurales et datations 40K-40Ar sur les roches métamorphiques de la région de Neyriz (Zone de Sanandaj-Sirjan, Iran méridional) Leur intérêt dans Colorado: Tenth Keck Research Symposium in Geology proceedings, p. 265-268.
- 11- Gartzos, E., V.J. Dietrich., G. Migirov., K. Serelis. and Th. Lympertopoulou, 2008, The origin of amphibolites from metamorphic soles beneath the ultramafic ophiolites in Evia and Lesvos (Greece) and their geotectonic implication: Lithos., p. 1-19.
- 12- Herron, M.M., 1988, Geochemical classification of terrigenous sands and shales from core or log data: Journal Sedimentary Petrology, v. 58, p. 820–829.
- 13- Leake, B.E., 1964, The chemical distinction between ortho-and para- amphibolites: Journal of Petrology, v. 5, p. 238-254.
- 14- Likhanov, I.I., V.V. Reverdatto, and A.E. Vershinin, 2008, Fe-and Al-Rich metapelite of the Teiskaya Group, Yenisei range, geochemistry, protoliths and the behavior of their material during metamorphism: Geochemistry International, v. 46, no. 1, p. 17-36.
- 15- Moorhouse, S.J., and V.E. Moorhouse, 1979, The Moine amphibolite suites of central and northern Sutherland, Scotland: Min. Mag, v. 43, p. 211-225.
- 16- Mucke, A., and R.Younessi, 1994, Magnetite-apatite deposits (Kiruna-type) along the Sanandaj-Sirjan zone and the Bafq area, Iran, associated with ultramafic and calcalkaline rocks and carbonatites: Mineralogy and petrology, v. 50, p. 219-244.
- 17- Mulrooney, D., and T. Rivers, 2005, Redistribution of the rare-earth elements among coexisting minerals in metamorphic rocks across the epidote-out isograd: an example from the St. Anthony complex, northern Newfoundland,

- and Montana: New data and interpretation: Geological Society of Amerca Bulletin, v. 80, p. 1127-1136.
- 27- Walker, F., and A. Poldervaart, 1949, Karroo dolerites of the Union of South Africa: Bull. Geol. Soc. Amer, v. 60, p. 591-706.

- le cadre du domaine neo- tethysien du Moyen-Orient C. R: Geoscience, v. 335, p. 981-991.
- 25- Taylor, S.R., and S.M. McLennan, 1988, The continental crust, its composition and evolution: Blackwell Oxford, 379 p.
- 26- Van de kamp, P.C., 1968, Origin of amphibolites in the Beartooth Mountains, Wyoming